

要旨: 土の剛性率および減衰比の拘束圧 ( $\sigma_c$ ) とひずみ ( $\gamma$ ) 依存性について述べる。そのために、 $\gamma/\sqrt{\sigma_c}$  なる量を用いて、これまでに報告された多数のデータを整理して検討する。また初期剛性率 ( $G_0$ ) は、拘束圧と間げき比 ( $e$ ) の関数として表現される一方、せん断強度との比 ( $G_0/s_u$ ) が議論されることも多い。ゆえに  $G_0$  と  $\sigma_c$ ,  $e$ ,  $s_u$  の相互関係を明らかにする。

1. 剛性率の拘束圧とひずみ依存性: 土の等価剛性率は、ひずみ振幅の増加とともに減少し、かつその特性が、拘束圧の大小によって異なることがよく知られている。このような等価剛性率 ( $G$ ) の拘束圧とひずみ依存性を整理して明らかにするために、図-1 の横軸は  $\gamma/\sqrt{\sigma_c}$  で表示してある。  
図-1において、 $G/G_0 = 0.5$  に対応する  $\gamma/\sqrt{\sigma_c}$  の値を、以下に検討する。

Hardin-Drnevich モデルによれば、

$$\frac{G}{G_0} = \frac{1}{\left\{1 + \left(\frac{G_0}{\tau_f}\right)\gamma\right\}} = \frac{1}{\left\{1 + \left(\frac{G_0}{\sqrt{\sigma_c}} \cdot \frac{\sigma_c}{\tau_f}\right)\left(\frac{\gamma}{\sqrt{\sigma_c}}\right)\right\}}$$

$$= \frac{1}{\left\{1 + \frac{1}{\alpha} \left(\frac{\gamma}{\sqrt{\sigma_c}}\right)\right\}} \quad (1-a)$$

$$\alpha = \left(\frac{\sqrt{\sigma_c}}{G_0}\right) \left(\frac{\tau_f}{\sigma_c}\right) \quad (1-b)$$

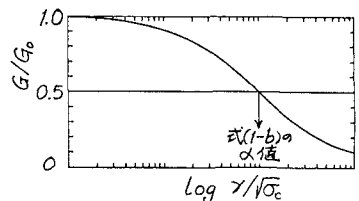


図-1  $\alpha$  値の説明

ここに  $\tau_f$ : 動的せん断強度,  $\alpha$  は  $G/G_0 = 0.5$  における  $(\gamma/\sqrt{\sigma_c})$  である。ところで式(1-a)において、 $G_0/\sqrt{\sigma_c}$  は Hardin-Black その他によつて

$$\frac{G_0}{\sqrt{\sigma_c}} = A \cdot F(e) \quad \left. \begin{array}{l} \\ \end{array} \right\} \quad (2)$$

$$A = 330 \text{ (kg/cm}^2\text{)}^{1/2}$$

$$F(e) = (2.97 - e)^2 / (1 + e)$$

で表わされることが既に判明している。また同じ土であれば  $\tau_f/\sigma_c = \text{一定}$  とみられるので、結局、式(1-b)で定義した  $\alpha$  の値は間げき比の関数になる。

図-2 は、これまでに報告された砂質土並びに粘性土について、図-1 のような整理をし、 $\alpha$  の値を間げき比に対してプロットしたものである。図-2 中の斜線部は砂質土の範囲を示し、それ以外の点は粘性土である。また図中の曲線は、 $\tau_f/\sigma_c = 0.2$  より  $< 1.0$  とし、式(2)で与えられる  $G_0/\sqrt{\sigma_c}$  を用いて、式(1-a)を計算したものである。計算曲線は、間げき比が 2.0 程度までは実験値をカバーできるが、間げき比が 2.0 よりも大きい、いわゆる超軟弱粘土になると外れてくる。図-2 のプロットは、剛性率の低下度  $G/G_0$  を、式(1-a)のように表現したときの  $\alpha$  と間げき比の関係を示すものであり、土の  $\alpha$  と  $\sigma_c$  がわかっているときの動的な応力によるひずみ関係を推定する上で参考になると思われる。

2. 減衰比の拘束圧とひずみ依存性: 砂質土の減衰比  $D$  とひずみ  $\gamma$  の関係について、Seed-Idriss<sup>9)</sup> は  $\sigma_c = 0.2 \sim 4.3 \text{ kg/cm}^2$  の範囲、石原<sup>10)</sup> は  $\sigma_c = 0.5 \sim 1.0 \text{ kg/cm}^2$  の範囲で多数のデータを集め整理している。それらの結果より、 $D \sim \gamma/\sqrt{\sigma_c}$  の関係にプロット

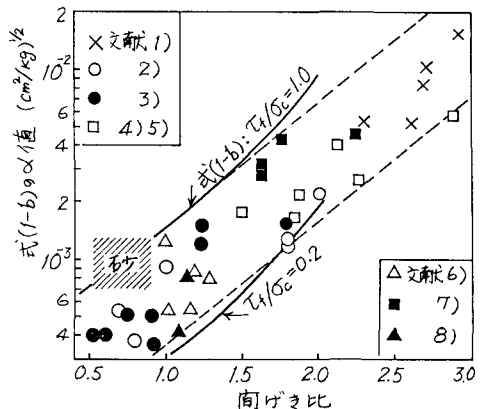


図-2  $\alpha$  値と間げき比の関係

それ以外の点は粘性土である。また図中の曲線は、式(1-a)を計算したものである。計算曲線は、間げき比が 2.0 程度までは実験値をカバーできるが、間げき比が 2.0 よりも大きい、いわゆる超軟弱粘土になると外れてくる。

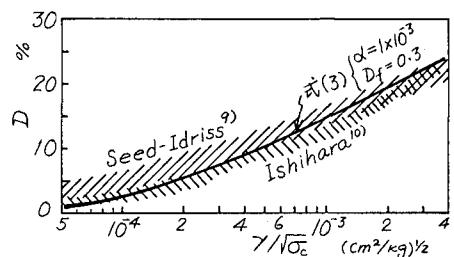


図-3 砂質土の減衰比

し直したものは図-3に示すようであり、比較的せまい範囲に納まっている。

ところで、Hardin-Drnevich モデルによれば、減衰比  $D$  は、

$$D = D_f / \left\{ 1 + \alpha \left( \frac{\sqrt{G_c}}{e} \right) \right\} \quad \text{---(3)}$$

ここに  $D_f$ ；破壊時の減衰比である。砂質土の  $\alpha$  の値は、図-2にも示したように  $\alpha = (1.0 \pm 0.3) \times 10^{-3} (\text{cm}^2/\text{kg})^{1/2}$

なるから、式(3)中の  $\alpha = 1.0 \times 10^{-3}$ 、かつ  $D_f = 0.3$ としたときの計算結果が図中に示されている。これによれば実測結果が割合によく説明できるとみられる。

次に粘性土に関するデータを、やはり  $D \sim e/\sqrt{G_c}$  図体に示すと、図-4のようである。この場合は、図-2で説明したように、 $e$  の値が間隔比によって変化するので、砂質土のようにまとまった團体は得られない。ただし同じ  $e/\sqrt{G_c}$  の値で比較すると、減衰比は粘性土の方が砂質土よりも小さいという結果が読みとれる。

**3. 初期剛性率とせん断強度**： 静的な非排水せん断強度  $s_u$  と、  $G_0$  との関係を調べた例が多數報告され、それらを総合すると、  $G_0/s_u = 200 \sim 3.000$  程度の値が求められている。そこで  $G_0/s_u$  と、式(2)で表現される  $G_c$ 、 $e$  の関数としての  $G_0$  との関係を調べてみる。

よく知られているように、粘性土の  $s_u$  は圧密圧力  $G_c$  によってきまるので、その比を  $K$  とし

$$s_u/G_c = K$$

で表わす。この値は、塑性指数や試験法によっても異なるが、およそ 0.3 程度である。ゆえにこの関係と式(2)を用いて  $G_0/s_u$  を表現すると、

$$\frac{G_0}{s_u} = \frac{A \cdot F(e) \sqrt{G_c}}{K \cdot G_c} = \frac{A \cdot F(e)}{K \sqrt{G_c}}$$

である。これを変形して整理すると

$$\frac{(2.97 - e)^2}{1 + e} = \left( \frac{K}{A} \right) \left( \frac{G_0}{s_u} \right) \frac{1}{\sqrt{G_c}} \quad \text{---(4)}$$

いま  $A = 330$ 、 $K = 0.3$  とすれば、右辺の  $(K/A)$  は一定値となるので、 $(G_0/s_u)$  の値を設定してやれば、間隔比  $e$  と圧密圧力  $G_c$  の関係が求ることになる。そこで  $G_0/s_u = 200 \sim 2.000$  の間で種々に選び、 $e$  と  $G_c$  の関係を計算して  $e \sim \log G_c$  図上に描くと、図-5 中の平行な直線群がえられる。そしてこれら直線群の傾斜を図上で測ると、正規圧縮指数  $C_c = 0.75$  となることがわかる。このことは、 $C_c = 0.75$  を有する粘土では、圧密圧力が変化しても  $G_0/s_u$  の値が一定になることを示している。因みに三笠によれば、大阪沖積粘土の範囲は標準的に  $C_c = 0.8$  としており、上記の 0.75 と近似できる値である。また式(4)の計算結果では、図-5 にみられるように、 $G_0/s_u$  が小さいほど  $e \sim \log G_c$  直線が上位にきている。一方、 $e \sim \log G_c$  直線が上位にくるのは塑性の高い粘土であることがわかっているので、高塑性のものほど  $G_0/s_u$  は小さいことになる。なお図-5 中の斜線部は、大阪沖積粘土の正規圧密領域における範囲を示したものであり、これによると  $G_0/s_u = 500 \sim 1.500$  程度の値となってい。

**文献：** 1) 原：第2回地盤震動シンポ資料、建築学会、昭48. 2) Anderson: Ph.D.論文, Univ. of Michigan, 1974. 3) Hardin-Drnevich: Tech. Report 26-70-CE 2, Univ. of Kentucky. 4) 石原他：第4回日本地盤工学シンポ、昭50, p. 423. 5) 石原他：第11回土質工学研究発表会、昭51, p. 411. 6) 岩崎他：第12回土質工学研究発表会、昭52, p. 433. 7) 鈴木・杉本：同上, p. 441. 8) 田中他：同上, p. 461. 9) Seed-Idriss: Report of EERC, Univ. of California, 1970. 10) 石原：土質動力学の基礎、鹿島出版、昭51, p. 197. 11) 三笠：大阪地盤圖、昭41, p. 13.

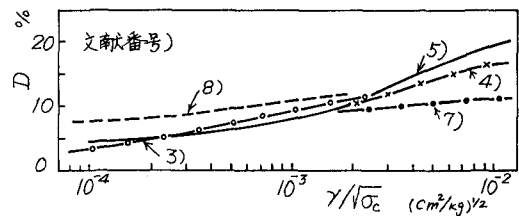


図-4 粘性土の減衰比

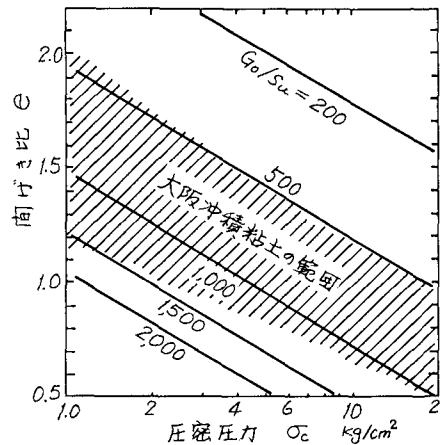


図-5  $e \sim \log G_c$  図上に示した  $G_0/s_u$  の値